

Вестник МОСКОВСКОГО УНИВЕРСИТЕТА

№ 3 — 1963

Н. Н. КОЛЕСНИКОВ, Ю. П. ГРИГОРЬЕВ

К ТЕОРИИ ИЗОТОПИЧЕСКИХ СМЕЩЕНИЙ

Выводится уточненная релятивистская формула с учетом искажения электронных волновых функций для подсчета смещения электронного $n_j = \left(l \pm \frac{1}{2}\right)$ уровня, возникающего за счет конечности размеров ядра при произвольных сферически-симметричных нуклонных плотностей, обрывающихся на конечных расстояниях. Результаты обобщаются на случай нуклонных плотностей, не обрывающихся на конечных расстояниях, а также не обладающих сферической симметрией.

Главной частью изотопического смещения электронных уровней средних и тяжелых элементов является эффект объема ядра, возникающий вследствие отклонения электронного поля реальных ядер от поля точечных частиц [1—2]. Элементарная нерелятивистская теория изотопического объемного эффекта была дана Бартлетом [3] и обобщена на релятивистский случай Рака [4], а также Брейтом и Розенталь [5]. Последние показали, что не учитывать релятивистские свойства электрона недопустимо при численной оценке объемного эффекта, так как это приводит к результатам, заниженным для тяжелых элементов более чем в 10 раз. Брох [6] и ряд других авторов [7] улучшили теорию путем приближенного учета искажения электронных волновых функций для случаев поверхностного и равномерно-объемного распределений заряда ядра. В дальнейшем были рассмотрены и некоторые другие виды протонных плотностей $\rho(r)$ [9—11]. Изотопические смещения чувствительны к изменению не только объемов ядер, но и их формы [12—16] и поэтому могут быть использованы для исследования эффективных размеров ядер [8—11] и параметров деформации β и γ [12—16], а также сжимаемости ядерного вещества [17]. Измерение изомерных смещений [18] дает ценный материал о свойствах возбужденных состояний ядер. Изотопическое и изомерное смещения представляют собой разностные эффекты и требуют для их надежной оценки уточненного расчета объемного эффекта. Последнее и явилось целью работы. При этом не рассматривались поправки, связанные с электромагнитной структурой самих нуклонов [1], вакуумными эффектами [20], поляризацией [21—22], сжимаемостью ядер [17] и т. д. [23].

Предположим, что взаимодействие внешнего электрона с другими не изменяет характера его волновой функции вблизи ядра, а изменяет лишь численное значение константы, характеризующей поведение вол-

новой функции в нуле, благодаря чему можно свести многоэлектронную задачу к одноэлектронной [8, 9, 19].

Тогда, если $\rho(r)$ произвольно, но обрывается на расстояниях R_0 , малых по сравнению с радиусом электронной орбиты, то при $r > R_0$ поле будет чисто кулоновским, и поэтому решение уравнения Дирака для радиальных функций χ_1 и χ_2 может быть выражено через функции Уиттекера $W_{k,m}$ [24] (см. приложение 1)

$$\chi_1(r) = D\xi^{-\frac{1}{2}} \{n! (n' + 2\gamma) W_{n'+\gamma-\frac{1}{2},\gamma}(\xi) - (N - \kappa) W_{n'+\gamma+\frac{1}{2},\gamma}(\xi)\},$$

$$\chi_2(r) = D \left(\frac{1+\varepsilon}{1-\varepsilon} \right)^{\frac{1}{2}} \xi^{-\frac{1}{2}} \{n' (n' + 2\gamma) W_{n'+\gamma-\frac{1}{2},\gamma}(\xi) + (N - \kappa) W_{n'+\gamma+\frac{1}{2},\gamma}(\xi)\}, \quad (1)$$

где

$$\xi = \frac{2Zr}{Na_0}, \quad \gamma = \sqrt{k^2 - a^2 Z^2}, \quad N = \sqrt{n^2 - 2n'(k - \gamma)},$$

$$\varepsilon = \frac{E}{E_0} = \left\{ 1 + \frac{a^2 Z^2}{(n' + \gamma)^2} \right\}^{-\frac{1}{2}}, \quad (2)$$

$$\kappa = \pm \left(l + \frac{1}{2} \right) - \frac{1}{2},$$

для $j = l \pm \frac{1}{2}$, $k = |\kappa|$.

Главное квантовое число $n = n' + k$ становится целочисленным и равным n_0 лишь в случае точечных ядер. Тем не менее $\Delta n = n - n_0 \ll 1$ для всех реальных ядер, размеры которых малы по сравнению с радиусами электронных орбит. Поэтому внешние решения χ_1 и χ_2 при $r \ll a_0$ с большей степенью точности можно аппроксимировать с помощью асимптотических выражений для функций $W_{k,m}(\xi)$ (см. приложение (2, 1)). Определив Δn из условия непрерывности отношения χ_1/χ_2 , на границе внешней и внутренней областей получим, пользуясь (2), следующую формулу для вычисления смещения n , $j = \left(l \pm \frac{1}{2} \right)$ электронного уровня за счет конечности размеров ядра

$$\Delta E_{cm-1} = \frac{aZ^2}{2\pi a_0} \cdot \frac{\varepsilon^3}{(n_0 + \gamma)^3} \Delta n \approx$$

$$\approx \frac{aZ^2}{2\pi a_0} \cdot \frac{\varepsilon^3}{(n_0 + \gamma)^3} \cdot \frac{\Gamma(n_0' + 2\gamma + 1)}{\Gamma(2\gamma + 1) \Gamma(2\gamma) \Gamma(n_0' + 1)} \left(\frac{2ZR_0}{Na_0} \right)^{2\gamma} \times$$

$$\times \frac{\left\{ (n_0' + k \pm N_0) - (n_0' - k \mp N_0) \cdot \left(\frac{1 \pm \varepsilon}{1 \mp \varepsilon} \right)^{\frac{1}{2}} K^\pm(R_0) \right\}}{\left\{ (n_0' + 2\gamma + k \pm N_0) - (n_0' + 2\gamma - k \mp N_0) \cdot \left(\frac{1 \pm \varepsilon}{1 \mp \varepsilon} \right)^{\frac{1}{2}} K^\pm(R_0) \right\}}, \quad (3)$$

где $K^+(\xi)$ обозначает отношение решений $\chi_1(\xi)$ и $\chi_2(\xi)$ для внутренней области ($r \ll R_0$) и $K^-(\xi) = [K^+(\xi)]^{-1}$.

Сравним выражение (3) с величиной объемного смещения nl' ($l'=k-1$) уровня, вычисленного в нерелятивистском приближении по теории возмущений

$$\Delta E_H = \frac{1}{2\pi \hbar c} \int |\Psi^H(\vec{r})|^2 \left(V(r) + \frac{Ze^2}{r} \right) d^3r \text{ см}^{-1}, \quad (4)$$

где $\Psi^H(\vec{r})$ — нерелятивистская волновая функция электрона. С помощью соотношения $\frac{1}{|\vec{r}-\vec{r}'|} = \frac{1}{2\pi^2} \int \frac{e^{i\vec{k}(\vec{r}-\vec{r}')}}{k^2} d^3k$ выражение для $V(r) = -Ze^2 \times \int \frac{\rho(r') d^3r'}{|\vec{r}-\vec{r}'|}$ можно также переписать в виде

$$V(r) = -\frac{Ze^2}{r} + 4\pi Ze^2 \sum_{q=1}^{\infty} \frac{\langle r^{2q} \rangle}{\Gamma(2q+2)} \nabla^{2q-2} \delta(\vec{r}), \quad (5)$$

где

$$\langle r^{2q} \rangle = \int \rho(r) r^{2q} dv, \quad (\langle r^0 \rangle = 1),$$

$$\delta(\vec{r}) = (2\pi)^{-3} \int e^{i\vec{k}\vec{r}} d^3k.$$

Подставляя (5) в (4) и учитывая, что

$$\int f(\vec{r}) \nabla^{2q-2} \delta(\vec{r}) d^3r = \{ \nabla^{2q-2} f(\vec{r}) \}_{\vec{r}=0},$$

получаем

$$\Delta E_H = 2\alpha Z \sum_{q=1}^{\infty} \frac{\langle r^{2q} \rangle}{\Gamma(2q+2)} \{ \nabla^{2q-2} |\Psi^H(\vec{r})|^2 \}_{\vec{r}=0}. \quad (6)$$

В частности, если в (6) ограничиться главным членом суммы, то

$$\Delta E_H \approx 2\alpha Z \frac{\langle r^{2l'+2} \rangle}{\Gamma(2l'+4)} \{ \nabla^{2l'} |\Psi_{nl'}^H(\vec{r})|^2 \}_{\vec{r}=0}, \quad (7)$$

где [25]

$$\{ \nabla^{2l'} |\Psi_{nl'}^H(\vec{r})|^2 \}_{\vec{r}=0} = \frac{\Gamma(n+l'+1)}{8\pi n \Gamma(n-l') \Gamma(2l'+2)} \cdot \left(\frac{2Z}{na_0} \right)^{2l'+3}.$$

В соответствии с (7) формула (3) переписывается следующим образом:

$$\begin{aligned} \Delta E \text{ см}^{-1} &= 2\alpha Z \{ \nabla^{2k-2} |\Psi_{n,k-1}^H(\vec{r})|^2 \}_{\vec{r}=0} \frac{\varepsilon^3 n_0^2}{(n_0 + \gamma)^3} \left(\frac{n_0}{N_0} \right)^{2k} \times \\ &\times \left(\frac{2Z}{N_0 a_0} \right)^{2(\gamma-k)} \frac{\Gamma(n_0^1 + 2\gamma + 1) \Gamma(2k)}{\Gamma(2\gamma + 1) \Gamma(2\gamma) \Gamma(n_0^1 + 2k)} \times \\ &\times \frac{R_0^{2\gamma} \left\{ (n_0^1 + k \pm N_0) - (n_0^1 - k \mp N_0) \left(\frac{1 \pm \varepsilon}{1 \mp \varepsilon} \right)^{\frac{1}{2}} K^{\pm}(R_0) \right\}}{\left\{ (n_0^1 + 2\gamma + k \pm N_0) - (n_0^1 + 2\gamma - k \mp N_0) \left(\frac{1 \pm \varepsilon}{1 \mp \varepsilon} \right)^{\frac{1}{2}} K^{\pm}(R_0) \right\}}. \end{aligned} \quad (8)$$

Для нахождения $K^\pm(R_0)$ во внутренней области ($r \leq R_0$) целесообразно воспользоваться интегральным уравнением Роуза [26, 14] (см. приложение 3), которое удобно записать в следующей форме:

$$K^\pm(\xi_0) = K_1^\pm(\xi_0) - \frac{R_0}{\alpha a_0} \int_0^1 [1 \pm \varepsilon \mp v(v)] [K^\pm(v)]^2 v^{2k} dv, \quad (9)$$

где

$$K_1^\pm(\xi_0) = \frac{(1 \mp \varepsilon) R_0}{(2k+1) \alpha a_0} \mp \frac{\alpha Z}{2k} \left[1 - \frac{\langle r^{2k} \rangle}{(2k+1) R_0^{2k}} \right], \quad v = \frac{r}{R_0}. \quad (10)$$

Уравнение (9) удобно решать методом последовательных приближений, причем уже первое приближение $K_1^\pm(\xi)$ аппроксимирует для всех разумных видов $\rho(r)$ с ошибкой не более 5—6%. Быстрый характер сходимости приближений для случая поверхностного распределения заряда приведен в таблице.

Z	10	20	40	60	80	100	
A*	20	42	88	146	200	260	
$\frac{K_2(\xi) - K_1(\xi)}{K_1(\xi)}, \%$	$4,57 \cdot 10^{-2}$	0,168	0,637	1,39	2,44	3,8	κ = 1
$\frac{K_3(\xi) - K_1(\xi)}{K_1(\xi)}, \%$	$4,575 \cdot 10^{-2}$	0,169	0,647	1,431	2,563	4,1	
$\frac{K_\infty(\xi) - K_1(\xi)}{K_1(\xi)}, \%$	$4,58 \cdot 10^{-2}$	0,17	0,65	1,44	2,57	4,17	
$\frac{K_2(\xi) - K_1(\xi)}{K_1(\xi)}, \%$	$1,956 \cdot 10^{-2}$	0,0713	0,273	0,598	1,039	1,628	κ = 2
$\frac{K_3(\xi) - K_1(\xi)}{K_1(\xi)}, \%$	$1,956 \cdot 10^{-2}$	0,0715	0,274	0,605	1,061	1,724	
$\frac{K_\infty(\xi) - K_1(\xi)}{K_1(\xi)}, \%$	$1,96 \cdot 10^{-2}$	0,0716	0,275	0,606	1,062	1,73	

Используя первое приближение (10) для $K(\xi_0)$, получим при $d^2 Z^2 \ll 1$ для nS -состояний более простую, но менее точную формулу

$$\Delta E_{cm-1} = \frac{2\alpha Z}{3} |\psi_H(0)|^2 \langle r^2 \rangle \frac{\Gamma(n'_0 + 2\gamma \mp 1) \Gamma(n'_0 + 1)}{(n'_0 + \gamma) (n'_0 + \gamma \mp 1) \Gamma(2\gamma + 1) \Gamma(2\gamma) \Gamma(n'_0 + 1)} \times$$

$$\times \left(\frac{2ZR_0}{Na_0} \right)^{2(\gamma-1)} \left\{ 1 + \frac{\alpha^2 Z^2}{(n'_0 + \gamma)^2} \right\}^{-\frac{3}{2}}, \quad (11)$$

в которой эффект ядерной структуры проявляется лишь через посредство квадратичного радиуса.

Для того чтобы распространить полученные результаты на случай $\rho(r)$, не обрывающихся на конечных расстояниях R_0 , но быстро спадающих на расстояниях много меньших размеров электронных орбит, рассмотрим следующее вспомогательное распределение заряда $\rho_1(r)$:

$$\rho_1(r) = \begin{cases} \frac{(1 - \lambda \int_0^{R_0} \rho(r) d^3r) \delta(r - R_0)}{4\pi r^2} & \text{при } r \leq R_0, \\ 0 & \text{при } r > R_0 \end{cases}$$

и подберем параметры λ и R_0 таким образом, чтобы

$$\langle r_1^2 \rangle \equiv \int \rho_1(r) r^2 d^3r = \int \rho(r) r^2 d^3r \equiv \langle r^2 \rangle$$

и

$$\langle r_1^4 \rangle \equiv \int \rho_1(r) r^4 d^3r = \int \rho(r) r^4 d^3r \equiv \langle r^4 \rangle,$$

причем $\langle r_1^0 \rangle = \langle r^0 \rangle = 1$.

Вычислим смещение уровня δE при переходе от распределения $\rho_1(r)$ к $\rho(r)$, пользуясь теорией возмущений с электронными функциями $\psi_1(\vec{r})$, соответствующими распределению заряда ядра $\rho_1(\vec{r})$. Это дает аналогично (6)

$$\delta E = 2\alpha Z \sum_{q=1}^{\infty} \frac{\langle r^{2q} \rangle - \langle r_1^{2q} \rangle}{\Gamma(2q+2)} \{ \nabla^{2q-2} | \psi_1(\vec{z}) | \}_{r=0}. \quad (12)$$

Из формулы (12) следует, что с точностью до членов порядка не выше $\frac{\langle r^4 \rangle}{a_0^4}$ оба распределения приводят к одним и тем же результатам, ввиду

чего вычисление объемного эффекта ядра с плотностью заряда $\rho(r)$, не обрывающейся на конечных расстояниях, сводится к вычислению по формуле (8) объемного эффекта для распределения $\rho_1(r)$, обрывающегося при $r = R_0$ с параметрами R_0 и λ , определяющимися соотношениями

$$(R_0^2 - \langle r^2 \rangle) \int_0^{R_0} \rho(r) \cdot (R_0^1 - r^4) d^3r = (R_0^4 - \langle r^4 \rangle) \int_0^{R_0} \rho(r) \cdot (R_0^2 - r^2) d^3r$$

и

$$\frac{1}{\lambda} = \int_0^{R_0} \rho(r) \frac{(R_0^1 - r^4)}{(R_0^4 - \langle r^4 \rangle)} d^3r.$$

Объемный эффект деформированных ядер зависит лишь от распределения заряда ρ по отношению к системе координат, неподвижной в пространстве. В частности, поэтому объемный эффект четно-четных ядер следует вычислять по тем же формулам (8) или (11), подставляя в них плотность заряда $\bar{\rho}$, усредненную по углам ориентации ядерной оси по отношению к оси, неподвижной в пространстве

$$\bar{\rho}(r) = \frac{1}{4\pi} \int \rho(\vec{r}) d\Omega. \text{ Так, если}$$

$$\rho(\vec{r}) = \begin{cases} \rho_0 \text{ при } r \leq r_0 [1 + \alpha_2 P_2(\cos \theta)], \\ 0 \text{ при } r > r_0 [1 + \alpha_2 P_2(\cos \theta)], \end{cases} \quad (13)$$

$$\bar{\rho}(r) = \begin{cases} \rho_0 & \text{при } r < m = r_0 \left(1 - \frac{\alpha_2}{2}\right), \\ \rho_0 \left[1 - \left(\frac{r-m}{M-m}\right)^{\frac{1}{2}}\right] & \text{при } m \leq r \leq M = r_0(1 + \alpha_2), \\ 0 & \text{при } r > M. \end{cases}$$

Отсюда при $\alpha_2 \ll 1$

$$\begin{aligned} \langle r^{2q} \rangle &= \int \bar{\rho}(r) r^{2q} d^3r \approx R_0^{2q} \frac{3}{2q+3} \times \\ &\times \left\{ 1 + \frac{[(2q+2)(2q+1)-6]\alpha_2^2}{10} \right\}, \\ \left(\int \bar{\rho}(r) d^3r = \frac{4\pi}{3} R_0^3 \rho_0 \right), \end{aligned} \quad (14)$$

где R_0 — радиус сферы равновеликого объема. В частности, для nS -уровней ($q=1$), $\langle r^2 \rangle = \frac{3}{5} R_0^2 (1 + \alpha_2^2)$, а поэтому в соответствии с (11) эффект деформации приводит (по сравнению со сферически-симметричным ядром) к относительному увеличению объемного эффекта в $(1 + \alpha_2^2)$ раз.

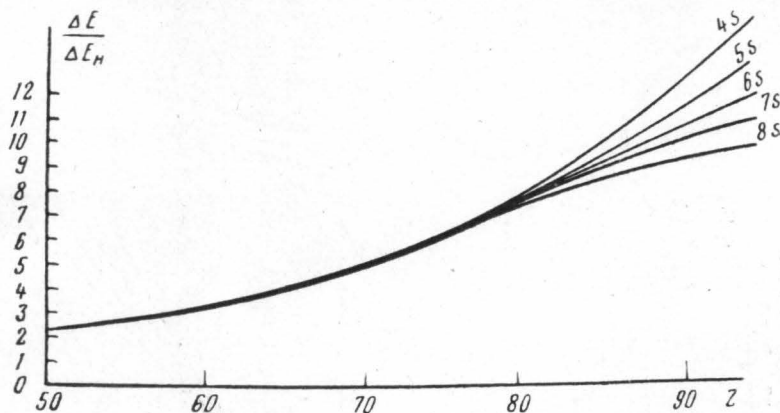


Рис. 1. Отношение объемного деформационного эффекта, подсчитанного по формуле (15), к нерелятивистскому выражению $\Delta E_H = \frac{\alpha Z}{3} |\Psi_H(0)|^2 \frac{3}{5} \alpha_2^2$ как функция от Z

Если не учитывать дополнительного искажения электронных волновых функций за счет отклонения $\rho(\vec{r})$ от $\rho(r)$, то вычисление объемного эффекта ядер, не являющихся четно-четными, также может быть произведено по формулам (8) и (11). Приведем результаты подсчета поправки к объемному эффекту равновеликого ядра с $\rho(r)$ вида (13) (по отношению к оси, неподвижной в пространстве)

$$\begin{aligned} \Delta E &= \frac{\alpha_2^2 Z^2}{10} R_0^{2\gamma} \frac{4(n'_0 + 1)^2}{\alpha^2 Z^2} \left(\frac{2Z}{Na_0} \right)^{2\gamma+1} \times \\ &\times \frac{\Gamma(2\gamma + n'_0 + 1)}{\Gamma^2(2\gamma + 1) \Gamma(n'_0 + 1)} \cdot \frac{(1 - \epsilon)}{4N_0(N_0 - \alpha)}. \end{aligned} \quad (15)$$

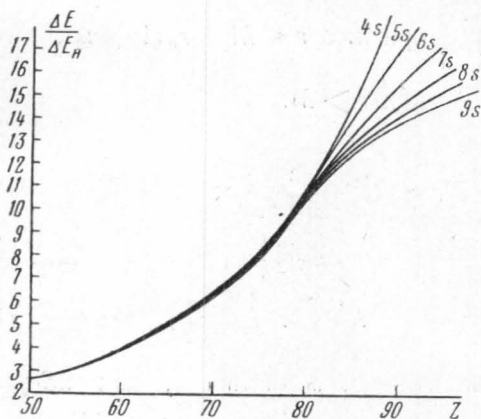


Рис. 2. Отношение ΔE , вычисленного по формуле (7), к ΔE_H для ns -состояний

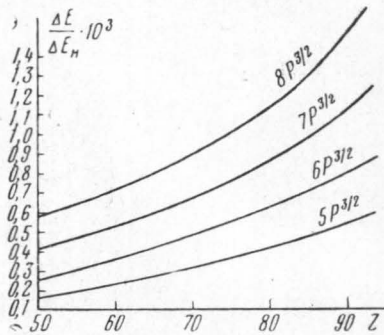


Рис. 4. Отношение ΔE , вычисленного по формуле (8) для $pr^{3/2}$ -состояний, к ΔE_H (см. (7)) для ns -состояний

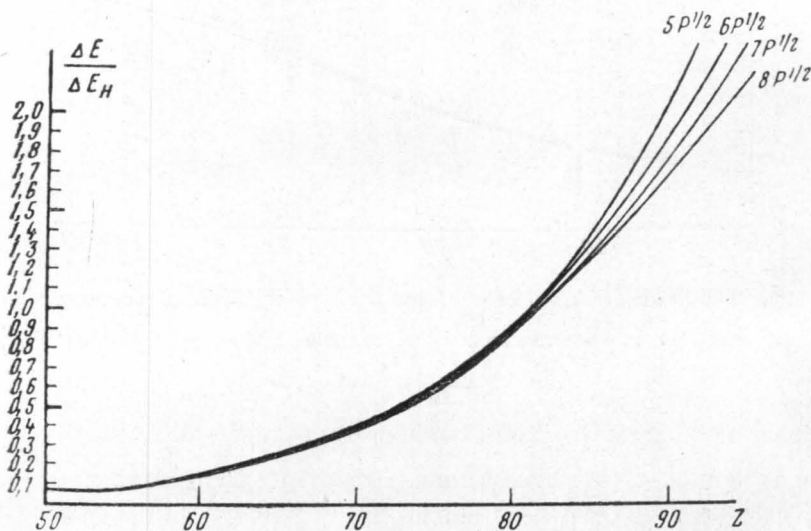


Рис. 3. Отношение ΔE , вычисленного по формуле (8) для состояний $pr^{1/2}$, к ΔE_H (см. 7) для ns -состояний

Формула (15) уточняет известную формулу Вилетса [13]: в ней учитывается искажение электронных волновых функций. Возникающие при этом поправки достаточно существенны для тяжелых ядер (рис. 1). На рис. 2, 3 и 4 с целью вычисления изотопических смещений приводятся результаты расчета объемных эффектов для ns $np^{1/2}$ и $np^{3/2}$ электронных уровней, производившиеся по формулам (8) и (9) в предположении равномерно-объемного распределения заряда.

Приложение 1. Решение уравнения Дирака для внешней области. Уравнение Дирака:

$$i\hbar \frac{\partial \Psi(\vec{r}, t)}{\partial t} = \{\alpha \vec{\alpha} p + \beta mc^2 + v(r)\} \Psi(\vec{r}, t)$$

с помощью подстановки

$$\Psi(\vec{r}, t) = e^{-\frac{iE}{\hbar} t} \begin{pmatrix} i \frac{\chi_2(r)}{r} \Omega_{JM}(l \pm 1) \\ \frac{\chi_1(r)}{r} \Omega_{JM}(l) \end{pmatrix},$$

где $\Omega_{JM}(l) = \sum_{\mu} (l \frac{1}{2} M - \mu, \mu | jM) Y_{l, M-\mu}(\theta) \eta_{\mu} - \eta_{\mu}$ двухкомпонентная спиновая функция приводится к следующей системе уравнений для радиальных функций $\chi_1(r)$ и $\chi_2(r)$:

$$\begin{aligned} \frac{d\chi_1}{dr} &= \frac{\kappa}{r} \chi_1 + \frac{mc}{\hbar} \{1 - \varepsilon + v(r)\} \chi_2, \\ \frac{d\chi_2}{dr} &= \frac{mc}{\hbar} \{1 + \varepsilon - v(r)\} \chi_1 - \frac{\kappa}{r} \chi_2, \end{aligned} \quad (1,1)$$

где

$$v(r) = \frac{V(r)}{mc^2}.$$

Если $V(r) = -\frac{ze^2}{r}$, то вводя обозначения

$$r = \frac{\hbar}{2mc} (1 - \varepsilon^2)^{-\frac{1}{2}} \xi,$$

$$v = \frac{\alpha Z}{2} \left[\left(\frac{1 - \varepsilon}{1 + \varepsilon} \right)^{\frac{1}{2}} - 1 \right], \quad N = \frac{\alpha Z}{2} \left[\frac{(1 - \varepsilon)^{\frac{1}{2}}}{(1 + \varepsilon)^{\frac{1}{2}}} + 1 \right]$$

и полагая

$$\begin{aligned} \chi_1 &= \left[\frac{\hbar}{mc(1 + \varepsilon)\xi} \right]^{\frac{1}{2}} [\varphi_1(\xi) - \varphi_2(\xi)], \\ \chi_2 &= \left[\frac{\hbar}{mc(1 - \varepsilon)\xi} \right]^{\frac{1}{2}} [\varphi_1(\xi) + \varphi_2(\xi)], \end{aligned} \quad (1,2)$$

можно переписать систему (1,1) в следующей форме:

$$\begin{aligned} \xi \frac{d\varphi_1(\xi)}{d\xi} &= \left\{ \frac{\xi}{2} - \left(v - \frac{1}{2} \right) \right\} \varphi_1(\xi) + (N + \kappa) \varphi_2(\xi), \\ \xi \frac{d\varphi_2(\xi)}{d\xi} &= (N - \kappa) \varphi_1(\xi) - \left\{ \frac{\xi}{2} - \left(v - \frac{1}{2} \right) \right\} \varphi_2(\xi). \end{aligned} \quad (1,3)$$

Уравнение (1, 3) удовлетворяется при подстановке вместо $\varphi_1(\xi)$ и $\varphi_2(\xi)$ функций Уиттекера $W_{k,m}$:

$$\varphi_1(\xi) = D_1 W_{\nu - \frac{1}{2}, \nu}(\xi), \quad (1.4)$$

$$\varphi_2(\xi) = D_2 W_{\nu + \frac{1}{2}, \nu}(\xi),$$

если

$$\gamma^2 = \kappa^2 - N^2 + \nu^2$$

и

$$\frac{D_1}{D_2} = \kappa + N = \frac{\gamma^2 - \nu^2}{\kappa - K}.$$

Учитывая соотношения (1,2) и (1,4), можно записать систему уравнений (1,1) в виде уравнения (1).

При целочисленных значениях $n = (n_0)$ решения $\chi_1(r)$ и $\chi_2(r)$ переходят в обычные решения уравнения Дирака для случая чисто кулоновского взаимодействия (от $r = 0$ до $r = \infty$); если положить нормировочную константу

$$D = \frac{Na_0}{2Z} \frac{\Gamma(-n_0 - 2\gamma)}{\Gamma(-2\gamma)} \frac{\sqrt{\Gamma(2\gamma + n' + 1)}}{\Gamma(2\gamma + 1) \sqrt{\Gamma(n' + 1)}} \sqrt{\frac{1 - \varepsilon}{4N(N - \kappa)}} \left(\frac{2z}{Na_0}\right)^{\frac{3}{2}}$$

Приложение 2. Асимптотическая формула для функций Уиттекера. Функция Уиттекера $W_{km}(\xi)$ является решением уравнения

$$\frac{d^2 W_{k,m} \xi}{d\xi^2} + \left\{ \frac{1}{4} + \frac{k}{m} + \frac{1 - m^2}{\xi^2} \right\} W_{k,m} = 0, \quad (2.1)$$

конечном при $\xi \rightarrow \infty$.

Решение уравнения (2,1) записывается в виде контурного интеграла [25]

$$W_{k,m}(\xi) = - \frac{\Gamma\left(k + \frac{1}{2} - m\right)}{2\pi j} e^{-\frac{\xi}{2}} \xi^k \int_C (-t)^{-k - \frac{1}{2} + m} e^{-t} \left(1 + \frac{t}{z}\right)^{k - \frac{1}{2} + m} dt, \quad (2.2)$$

где контур интегрирования C выходит из $+\infty$, и, обходя начало координат, возвращается в $+\infty$.

Разбивая контурный интеграл

$$\int_C (-t)^{-k - \frac{1}{2} + m} \left(1 + \frac{t}{z}\right)^{k - \frac{1}{2} + m} e^{-t} dt$$

на сумму трех интегралов, взятых в пределах от ρ до δ и от δ до ρ по окружности радиуса δ и устрояя неоднозначность в подынтегральной функции $(-t)^{-k - \frac{1}{2} + m}$ путем ее замены на $e^{(-k + m - \frac{1}{2}) \ln t}$, получаем

$$\begin{aligned} & -e^{-i\pi\left(-k - \frac{1}{2} + m\right)} \int_{\delta}^{\rho} t^{-k - \frac{1}{2} + m} \left(1 + \frac{t}{z}\right)^{k - \frac{1}{2} + m} e^{-t} dt + \\ & + e^{i\pi\left(-k - \frac{1}{2} + m\right)} \int_{\delta}^{\rho} t^{-k - \frac{1}{2} + m} \left(1 + \frac{t}{z}\right)^{k - \frac{1}{2} + m} e^{-t} dt - \\ & - i\delta^{-k + \frac{1}{2} + m} \int_{-\pi}^{\pi} e^{i\left(-k + \frac{1}{2} + m\right)\varphi} e^{\delta(\cos\varphi + i\sin\varphi)} \left(1 - \frac{\delta e^{i\varphi}}{z}\right)^{k - \frac{1}{2} + m} \delta\varphi, \quad (2.3) \end{aligned}$$

где при интегрировании по окружности радиуса δ было положено $-t = \delta e^{i\varphi}$. Контур интегрирования s всегда можно выбрать таким образом, чтобы $\delta \ll |\xi|$ и обеспечить сходимость ряда

$$\sum_{q=0}^{\infty} (-1)^q \frac{\Gamma\left(k+m+\frac{1}{2}\right)}{\Gamma(q+1)\Gamma\left(k+m+\frac{1}{2}-q\right)} \left(\frac{\delta e^{i\varphi}}{\xi}\right)^q = \left(1 - \frac{\delta e^{i\varphi}}{z}\right)^{k-\frac{1}{2}+m}$$

а также положить $\rho = \infty$. При этом последний член в (2, 3) можно преобразовать следующим образом:

$$\begin{aligned} & \sum_{q=0}^{\infty} (-1)^{q+1} \frac{\Gamma\left(k+m+\frac{1}{2}\right)}{\Gamma(q+1)\Gamma\left(k+m+\frac{1}{2}-q\right)} \cdot \frac{i\delta^{-k+\frac{1}{2}+m+q}}{\xi^q} \times \\ & \quad \times \int_{-\pi}^{\pi} e^{i\left(-k+\frac{1}{2}+m+q\right)\varphi} e^{\delta(\cos\varphi+i\sin\varphi)} d\varphi = \\ & = \sum_{q=0}^{\rho} (-1)^{q+1} \frac{\Gamma\left(k+m+\frac{1}{2}\right) 2i \sin \pi\left(-k+\frac{1}{2}+m+q\right)}{\Gamma(q+1)\Gamma\left(k+m+\frac{1}{2}-q\right) \xi^q} \left[\Gamma\left(-k+\frac{1}{2}+m+q\right) - \right. \\ & \quad \left. - \int_{\delta}^{\infty} t^{-k-\frac{1}{2}+m+q} e^{-t} dt \right] + \sum_{q=\rho+1}^{\infty} (-1)^{q+1} \frac{\Gamma\left(k+m+\frac{1}{2}\right)}{\Gamma(q+1)\Gamma\left(k+m+\frac{1}{2}-q\right)} \times \\ & \quad \times \frac{i\delta^{k+\frac{1}{2}+m+q}}{\xi^q} \int_{-\pi}^{\pi} e^{i\left(-k+\frac{1}{2}+m+q\right)\varphi} e^{\delta(\cos\varphi+i\sin\varphi)} d\varphi. \end{aligned} \quad (2, 4)$$

В (2,4) мы воспользовались формулой [25]

$$-2i \sin \pi z \Gamma(z) = 2i \sin \pi z \int_{\delta}^{\infty} t^{z-1} e^{-t} dt - i\delta^z \int_{-\pi}^{\pi} e^{iz\varphi + \delta(\cos\varphi+i\sin\varphi)} d\varphi$$

и положили $k - \frac{1}{2} - m \geq \rho > k - \frac{3}{2} - m$ (ρ — целочисленно).

При $\delta \rightarrow 0$ каждый из членов последней суммы в (2,4) исчезает, так как в ней $q \geq \rho + 1$ и, следовательно, при $\delta \rightarrow 0$, $\rho \rightarrow \infty$ (2, 4) переходит в

$$\begin{aligned} & \sum_{q=0}^{\infty} (-1)^{q+1} \frac{\Gamma\left(k+m+\frac{1}{2}\right)}{\Gamma(q+1)\Gamma\left(k+m+\frac{1}{2}-q\right)} 2i \sin \pi\left(-k+\frac{1}{2}+m+q\right) \times \\ & \quad \times \left[\Gamma\left(-k+\frac{1}{2}+m+q\right) - \int_0^{\infty} t^{-k-\frac{1}{2}+m+q} e^{-t} dt \right]. \end{aligned} \quad (2,5)$$

Для функций $W_{k,m}(\xi)$ при стремлении $\delta \rightarrow 0$ и $\rho \rightarrow \infty$ получаем в соответствии с (2,3) и (2,5) следующую интегральную формулу [11]:

$$W_{k,m}(\xi) = e^{-\frac{\xi}{2} \xi^k} \left\{ \frac{1}{\Gamma\left(-k + \frac{1}{2} + m\right)} \int_0^{\infty} t^{-k - \frac{1}{2} + m} e^{-t} dt \times \right. \\ \left. \times \left[\left(1 + \frac{t}{\xi}\right)^{k - \frac{1}{2} + m} - \sum_{q=0}^{k - \frac{3}{2} - m < p \leq k - \frac{1}{2} - m} \frac{\Gamma\left(k + m + \frac{1}{2}\right)}{\Gamma(q+1) \Gamma\left(k + m + \frac{1}{2} - q\right)} \xi^q t^q \right] + \right. \\ \left. + \left[1 + \sum_{q=0}^p \frac{\left[m^2 - \left(k - \frac{1}{2}\right)^2\right] \dots \left[m^2 - \left(k - q + \frac{1}{2}\right)^2\right]}{\Gamma(q+1) \xi^q} \right] \right\}. \quad (2,6)$$

Из (2,6) автоматически получается интегральная формула для функций Уиттекера, справедливая для $-k - \frac{1}{2} + m > 0$ (25), а также асимптотическая формула для больших ξ (25) (см. также [11]).

При нахождении асимптотической формулы для функций Уиттекера, справедливой для малых ξ , следует в (2,6) пренебречь всеми, кроме первого члена в первой квадратной скобке и последнего члена во второй квадратной скобке. Это дает

$$W_{k,m}(\xi \rightarrow 0) \approx \xi^{-m + \frac{1}{2}} \frac{\Gamma(2m)}{\Gamma(-p + \Delta n)} + \\ + \frac{(-1)^p \xi^{m + \frac{1}{2} + \Delta n}}{\Gamma(p+1)} \cdot \frac{\Gamma(2m + p + 1 + \Delta n)}{\Gamma(2m + \Delta n + 1)} \cdot \frac{\Gamma(p + 1 + \Delta n)}{\Gamma(1 + \Delta n)}, \quad (2,7)$$

где

$$\Delta n \equiv p' - p = k - \frac{1}{2} - m - p.$$

Предположим, что $\Delta n \ll 1$. Тогда

$$W_{k,m} \approx (-1)^p \xi^{m + \frac{1}{2}} \frac{\Gamma(2m + p + 1)}{\Gamma(2m + 1)} + (-1)^{p+1} \Gamma(p+1) \xi^{-m + \frac{1}{2}} \Delta n \\ (\Delta n \ll 1; \xi \ll 1). \quad (2,8)$$

При вычислении изотопических смещений для реальных ядер оказывается невозможным пренебречь ни одним из членов в (2,8). Оценки, произведенные для наименее благоприятного случая $z=100$ и $n=4$, при радиусе шивания $R_0=10f$ показывают, что ошибки приближения (2,7) не превышают 1–2%. При вычислении изотопических смещений всех реальных ядер суммарная ошибка приближения (2,8) не больше 1,5–2,5% (обычно порядка нескольких десятых долей процента).

Приложение 3. Интегральные уравнения для функций $K^{\pm}(\xi)$. Функции $K^{\pm}(r)$, определенные в (10), удовлетворяют в соответствии с (1,1) уравнению

$$\frac{dK^{\pm}(\eta)}{d\eta} - \frac{2k}{\eta} K^{\pm}(\eta) = \frac{1}{2\alpha Z} \{(1 \mp \varepsilon \pm \nu) - (1 \pm \varepsilon \mp \nu) [K^{\pm}(\eta)]^2\}, \quad (2,9)$$

где $\eta = \frac{2Zr}{a_0}$.

Умножив на интегральный множитель η^{2k} и проинтегрировав (2,9), получим интегральное уравнение

$$K^{\pm}(\eta) = \frac{\eta^{-2k}}{2\alpha z} \int_0^{\eta} \{(1 \mp \varepsilon \pm v(\eta) - (1 \pm \varepsilon \mp v(\eta')) [K^{\pm}(\eta')]^2 \eta'^{2k}\} d\eta', \quad (3,0)$$

которое для всех разумных $p(r)$ с подстановкой $K^{\pm}(\eta) = 0$ в правую часть (3,0) может решаться методом итераций. Сходимость итераций иллюстрируется в таблице для случая поверхностного распределения заряда, предполагая, что $R_0 = 1,2 A^{*1/3} f$, где A^* — массовое число наиболее стабильного (при заданном Z) изотопа [11].

ЛИТЕРАТУРА

1. Foster E. Rep. on Prog. Phys., **14**, 288, 1951; Хилл Д. Строение атомного ядра. ИЛ, М., 1959; Стриганов А. Р., Донцов Ю. П. «Успехи физических наук», **56**, 1955.
2. Иваненко Д. Д., Соколов А. А. Квантовая теория поля; Соколов А. А. Введение в квантовую электродинамику.
3. Bartlett J. Nature, **128**, 408, 1931.
4. Rasah G. Nature, **129**, 723, 1932.
5. Rosenthal J., Breit G. Phys. Rev., **41**, 459, 1932.
6. Broch E. Arch. Math og Naturwid., **48**, 1, 1945; Broch E. Arch. Math og Naturwid., **48**, 25, 1945.
7. Иваненко Д. Д., Цандер А. ЖЭТФ, **18**, 434, 1948; Смородинский Я. А. ЖЭТФ, **17**, 1035, 1947.
8. Crawford M., Schawlow A. Phys. Rev., **76**, 1310, 1949.
9. Humbach W. Zs. f. Phys., **133**, 589, 1952.
10. Bodmer A. Proc. Phys. Soc., **66A**, 1041, 1953; **21**, 347, 1960.
11. Колесников Н. Н. Диссертация. МГУ, 1955.
12. Brix P., Kopfermann H. Zs. f. Phys., **126**, 344, 1949; **133**, 282, 1952; Festschrift Akad. Wiss. Gottingen, Mat.-Fys., **17**, 1951; Phys. Rev., **85**, 1050, 1952.
13. Wilets L., Hill D., Ford K. Phys. Rev., **91**, 1488, 1953; Ford K. W. Phys. Rev., **90**, 29, 1953.
14. Bodmer A. Proc. Phys. Soc., **47**, 622, 1945; Breit G. Rev. Mod. Phys., **30**, 507, 1958.
15. Rustgi M. L. Phys. Rev., **123**, 2110, 1961.
16. Гречухин Д. П. Nucl. Phys., **24**, 576, 1961.
17. Ionesco-Pallas N. J. Nuovo Cim., **15**, 323, 1960.
18. Weiner R. Phys. Rev., **114**, 256, 1956.
19. Layzez D. Ann. of Phys., **8**, 271, 1959; Jonesco-Pallas N. J. Progress Theor. Phys., **21**, 655, 1959.
20. Иваненко Д. Д., Колесников Н. Н. ДАН СССР, **91**, 47, 1953.
21. Breit G., Arfken G., Clendeni W. Phys. Rev., **78**, 390, 1950.
22. Cooper L. N., Henley E. Phys. Rev., **92**, 837, 1957.
23. Gottfried K. Nucl. Phys., **15**, 92, 1960.
24. Уиттекер Е., Ватсон Г. Курс современного анализа, т. II. ОНТИ, М. — Л., 1934.
25. Бете Г. Квантовая механика простейших систем. ОНТИ, М. — Л., 1935.
26. Rose M., Newton R. Phys. Rev., **82**, 470, 1951.

Поступила в редакцию
4. 6 1962 г.

Кафедра
электродинамики и квантовой
теории